

Рис.4. Конструкция электромагнита бетатрона с последовательно-встречным включением обмоток возбуждения и компенсационной для медицинских целей (с  $W_k = 14$  МэВ), где 1 – обратный магнитопровод; 2 – полюса с центральным сердечником в монолитном исполнении;  $W1$  – обмотка возбуждения;  $W2$  – компенсационная обмотка

## 8. Максимальное поле облучения 10x30 см.

В электромагните применены полюса гребневой конструкции. Величина воздушного зазора на равновесном радиусе  $l_0=34$ мм. Схема питания позволяет регулировать энергию ускоренных электронов в пределах 3...12 МэВ и оперативно корректировать поле излучения. Если сравнивать бетатрон с такой конструкцией электромагнита с бетатроном МИБ-10Э [5], то он будет обладать лучшими техническими характеристиками, так как кинетическая энергия ускоренных электронов будет больше в  $\sim 1.5$  раза, массогабаритные параметры емкостного накопителя меньше в  $\sim 1.5$  раза при сохранении массогабаритных параметров электромагнита.

Таким образом, конструкция электромагнита бетатрона с последовательно-встречным включением обмоток возбуждения и компенсационной позволяет расширить возможности применения бетатронов в целях дефектоскопии и медицинских целях.

## СПИСОК ЛИТЕРАТУРЫ

1. Ананьев Л.М., Воробьев А.А., Горбунов В.И. Индукционный ускоритель электронов – бетатрон. –М.: Госатомиздат, 1961. – 352 с.
2. Москалев В.А. Бетатроны. –М.: Энергоиздат, 1981. – 168 с.
3. Касьянов В.А., Фурман Э.Г., Чахлов В.Л., Чертов А.С. Бетатрон с подмагничиванием. // ПТЭ, 2002. №1. – С.5-9.
4. Чертов А.С. Бетатрон с размагничиванием магнитопровода. Диссертация. – Томск, 2002.
5. В.Л. Чахлов, В.Г. Волков, А.А. Звонцов и др. – Изв. Вузов: Физика, 2000. №4. – С.134-135.

УДК 621.384.6

М.М. РЫЧКОВ, В.Л. ЧАХЛОВ, А.С. ЧЕРТОВ

## БЕТАТРОН С РАЗМАГНИЧИВАНИЕМ МАГНИТОПРОВОДА С ВЫВЕДЕНИМ ЭЛЕКТРОННЫМ ПУЧКОМ

В работе рассмотрена магнитная система бетатрона с размагничиванием магнитопровода, в которой обмотка возбуждения включена последовательно и встречно с компенсационной обмоткой. Экспериментальное исследование магнитной системы бетатрона с размагничиванием магнитопровода проведено на базе электромагнита серийно-выпускаемого бетатрона МИБ-6. Для данной магнитной системы разработана схема питания, обеспечивающая вывод электронов за пределы излучателя в конце цикла ускорения. Осуществлен запуск бетатрона с размагничиванием магнитопровода на кинетическую энергию ускоренных электронов в выведенном пучке 6 МэВ, с частотой следования импульсов излучения 50 Гц. Приведены кривые распределения дозных полей выведенного электронного пучка.

## Введение

Современные достижения в развитии средств и методов лучевой терапии, новые научные данные в экспериментальной и клинической радиобиологии и онкологии привели к значительному повышению роли и эффективности лучевой терапии [1, 2]. Это стимулирует и развитие ускорительной техники, которая является необходимой технической базой в научных и лечебных учреждениях.

Среди бетатронов с выведенным электронным пучком, предназначенных для лучевой терапии, следует отметить переносные малогабаритные бетатроны типа МИБ-6Э и БМ-10Э на кинетическую энергию электронов в терапевтическом пучке 6 и 8,5 МэВ, соответственно, с азимутальной вариацией управляющего поля, разработанные в НИИ интроскопии при Томском политехническом институте. Основные их достоинства - малые массогабаритные параметры, маневренность, надежность и простота в эксплуатации. Эти бетатроны в течение ряда лет успешно применяются в медицинской практике, как в томских, так и в зарубежных клиниках для интраоперационной лучевой терапии (ИОЛТ) и лечения разнообразных поверхностных новообразований. Однако, как показала практика [2], одним из недостатков этих установок является пространственное смещение оси пучка и изменение конфигурации поля облучения при изменении энергии ускоренных электронов, что приводит к длительным операциям настройки и корректировки пространственного положения пучка с привлечением высококвалифицированных специалистов. Данный факт ограничивает использование этих перспективных установок, так как в большинстве случаев применения выведенного пучка необходимо оперативное регулирование энергии выведенных электронов и конфигурации поля излучения.

## Конструкция электромагнитной системы

В основе исследуемой системы лежит конструкция бетатрона с размагничиванием магнитопровода БРМ [3]. Хотя данная система предназначена для получения тормозного излучения, при некоторых изменениях его конструкции такую систему можно успешно применить для вывода пучка и устранить недостатки, присущие медицинским бетатронам. Достоинство такой системы состоит в том, что управляющее поле в рабочем зазоре формируется двумя обмотками с примерно равным числом витков, и при одинаковых параметрах излучения в бетатроне такой конструкции по сравнению с классическим бетатроном радиальные размеры намагничивающей обмотки можно уменьшить. Такое конструктивное решение позволяет уменьшить поля рассеяния с полюсов. По проведенным на модернизированном электромагните ПМБ-6 измерениям (рис.1), потоки рассеяния  $\Phi_p$  (поток через площадку  $r_{ct}-r_{oc}$ , где  $r_{ct}$  – внутренний радиус стойки обратного магнитопровода,  $r_{oc}$  – радиус освобождения частицы) с уменьшенной обмоткой и стандартной отличаются примерно в 2 раза. При этом величина  $\Phi_p$  определялась по выражению:

$$\Phi_p = 2\pi \int_{r_{oc}}^{r_{ct}} r B_z(r) dr \quad (1)$$

Уменьшение полей рассеяния, соответственно, приводит к увеличению эффективности вывода т.к. увеличивается эффективное сечение выводного окна вследствие того, что электроны покидают рабочее пространство ускорителя с большими углами между вектором скорости частицы и радиус-вектором ее положения.

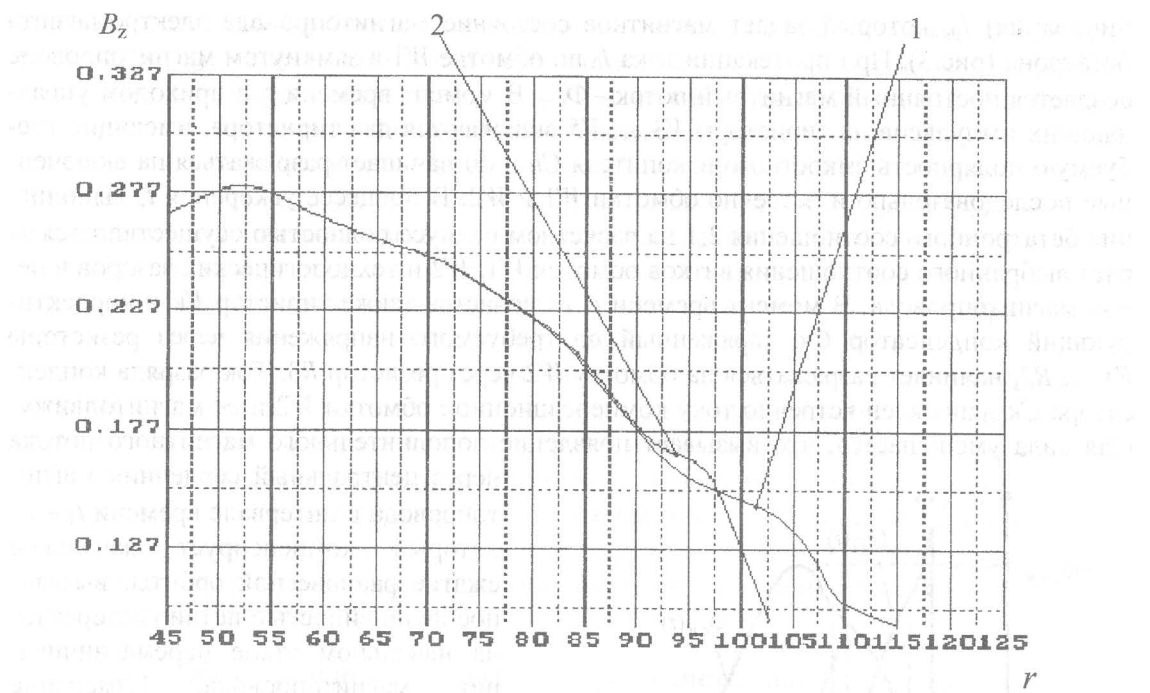


Рис.1. Распределение вертикальной составляющей вектора магнитной индукции в бетатроне с размагничиванием, где: 1 - со стандартной обмоткой возбуждения, 2 - с уменьшенной обмоткой возбуждения

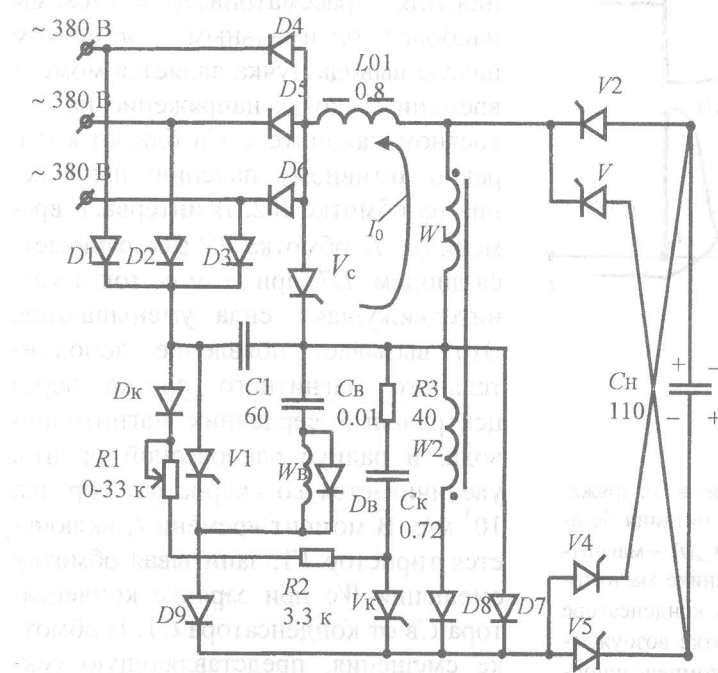


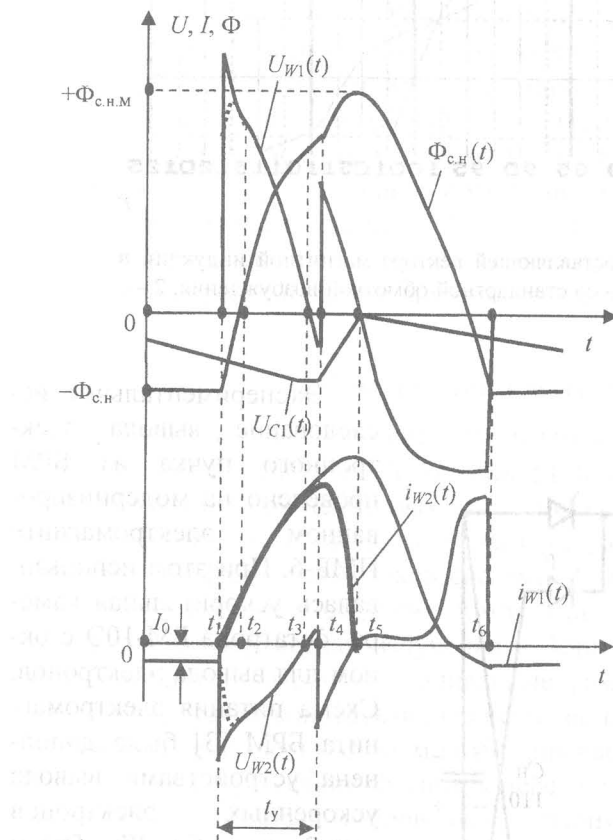
Рис.2. Экспериментальная схема питания БРМ.  $V_1-V_5$  - Т143-400-20,  $V_c$ ,  $V_b$  - ТБ-251-80-12;  $D_1-D_6$  - Д122-32-6,  $D_7-D_9$  - Д133-400-20,  $D_k$ ,  $D_b$  - Д132-50-10

Схема состоит из контура и цепи стабилизации

$D_6$ , через дроссель  $L_{01}$  и обмотку возбуждения  $W_1$  постоянным током (током размаг-

Экспериментальное исследование вывода электронного пучка из БРМ проведено на модернизированном электромагните ПМБ-6. При этом использовалась ускорительная камера бетатрона БМ-10Э с окном для вывода электронов. Схема питания электромагнита БРМ [3] была дополнена устройствами вывода ускоренных электронов (рис.2, цепь  $C_b$ ,  $W_b$ ,  $D_b$ ) и стабилизацией энергии колебательного контура (тиристор  $V_c$ ). Схема питания работает следующим образом. В исходном состоянии емкостной накопитель  $C_n$  заряжен до напряжения  $U_{max}$ , конденсатор  $C_1$  заряжается от выпрямителя, состоящего из диодов  $D_1-D_6$ .

ничивания)  $I_0$ , который задает магнитное состояние магнитопровода бетатрона (рис.3). При протекании тока  $I_0$  по обмотке  $W1$  в замкнутом магнитопроводе создается постоянный магнитный поток  $-\Phi_{c,h}$ . В момент времени  $t_1$  с приходом управляющих импульсов на тиристоры  $V3 \dots V5$  включаются два тиристора, имеющие требуемую полярность емкостного накопителя  $C_h$  и он начинает разряжаться на включенные последовательно и встречечно обмотки  $W1$  и  $W2$ . В процессе ускорения  $t_y$  выполнение бетатронного соотношения 2:1 на расчетном радиусе полностью осуществляется за счет выбранного соотношения витков обмоток  $W1$ ,  $W2$  и технологических зазоров в цепях магнитопровода. В момент времени  $t_1$  включается также тиристор  $V_k$  и корректирующий конденсатор  $C_k$ , заряженный до требуемого напряжения через резисторы  $R1 \dots R2$ , начинает разряжаться на обмотку  $W2$  через резистор  $R3$ . Ток разряда конденсатора  $C_k$  направлен встречно току компенсационной обмотки  $W2$  и ее магнитодвижущая сила уменьшается, что вызывает появление дополнительного магнитного потока



через центральный сердечник магнитопровода в интервале времени  $t_1 \div t_2$ , который компенсирует начальное сжатие равновесной орбиты, вызванное нелинейностью петли гистерезиса на начальном этапе перемагничивания магнитопровода. Изменение напряжения на конденсаторе  $C_k$  осуществляется переменным резистором  $R1$  и выбирается исходя из максимальной интенсивности излучения. Для рассматриваемой схемы наиболее оптимальным моментом начала вывода пучка является момент времени  $t_3$ , когда напряжение на емкостном накопителе  $C_h$  близко к 0 и равно активному падению напряжения на обмотке  $W2$ . В интервале времени  $t_3 \div t_4$  обмотка  $W2$  закорачивается диодом  $D7$ , при этом ее ток и магнитодвижущая сила уменьшаются. Это вызывает появление дополнительного магнитного потока через центральный сердечник магнитопровода, и радиус равновесной орбиты увеличивается со скоростью порядка  $10^3$  м/с. В момент времени  $t_4$  включается тиристор  $V1$ , запитывающий обмотку смещения  $W_c$  при зарядке конденсатора  $C_1$ . В обмотке смещения, представляющую сектор протяженностью  $180^\circ$  и установленную в межполюсном пространстве электромагнита, формируется импульс тока  $I_b$ , и относительно азимутально-симметричного управляющего

Рис.3. Изменения во времени токов, напряжений, магнитных потоков в схеме питания бетатрона с размагничиванием, где:  $\Phi_{c,h}(t)$  – магнитный поток в центральном сердечнике магнитопровода;  $U_{C1}(t)$  – напряжение на конденсаторе  $C_1$ ;  $U_{W1}(t)$  – напряжение на обмотке возбуждения  $W1$ ;  $U_{W2}(t)$  – напряжение на компенсационной обмотке  $W2$  (пунктиром показаны изменения напряжений  $U_{W1}(t)$  и  $U_{W2}(t)$  при отключенной цепи коррекции);  $i_{W1}(t)$  – ток обмотки возбуждения  $W1$ ;  $i_{W2}(t)$  – ток компенсационной обмотки  $W2$ .

поля создается секторное поле, направленное встречно управляющему, и обеспечивающее вывод электронного пучка через выводное окно ускорительной камеры. При этом диод  $D7$  закрывается, ток обмотки  $W2$  начинает уменьшаться с гораздо большей скоростью т.к. ток разряда конденсатора  $C1$  направлен встречно току обмотки  $W2$ , а ток обмотки  $W1$  переходит в цепь конденсатора  $C1$  и тиристора  $V1$ . В течение интервала времени  $t_4 \div t_5$  происходит ввод энергии от конденсатора  $C1$  в колебательный контур для компенсации потерь энергии в нем за цикл ускорения, а ток обмотки  $W2$  спадает до нуля. При полном разряде конденсатора  $C1$  (момент времени  $t_5$ ) включается диод  $D7$ , тиристор  $V1$  выключается и конденсатор  $C1$  вновь заряжается током  $I_0$ . Заряд конденсатора  $C1$  а следовательно и энергию, вводимую в колебательный контур, можно регулировать (до 30%) временем включения тиристора  $Vc$ , что и использовалось для стабилизации энергии укоренных электронов. Более глубокую регулировку энергии выведенных электронов можно осуществить либо изменением емкости конденсатора  $C1$ , либо изменением напряжения питания. При этом частотные характеристики колебательного контура т.е. время ускорения не изменяются, и в отличие от бетатронов классической конструкции, энергия электронов определяется не временем смещения укоренных частиц при неизменном времени ускорения, а величиной реактивной энергии колебательного контура.

### Экспериментальное исследование пространственного распределения электронного излучения

Для описанного выше режима работы были сняты распределения дозных полей в плоскости равновесной орбиты (рис.4). При этом использовался дозиметр "Robotron" M2300 с плоской камерой 70 127 в комплекте с прилагаемым к камере сборным полиэтиленовым фантомом. Камера 70 127 согласована с прилагаемым полиэтиленовым

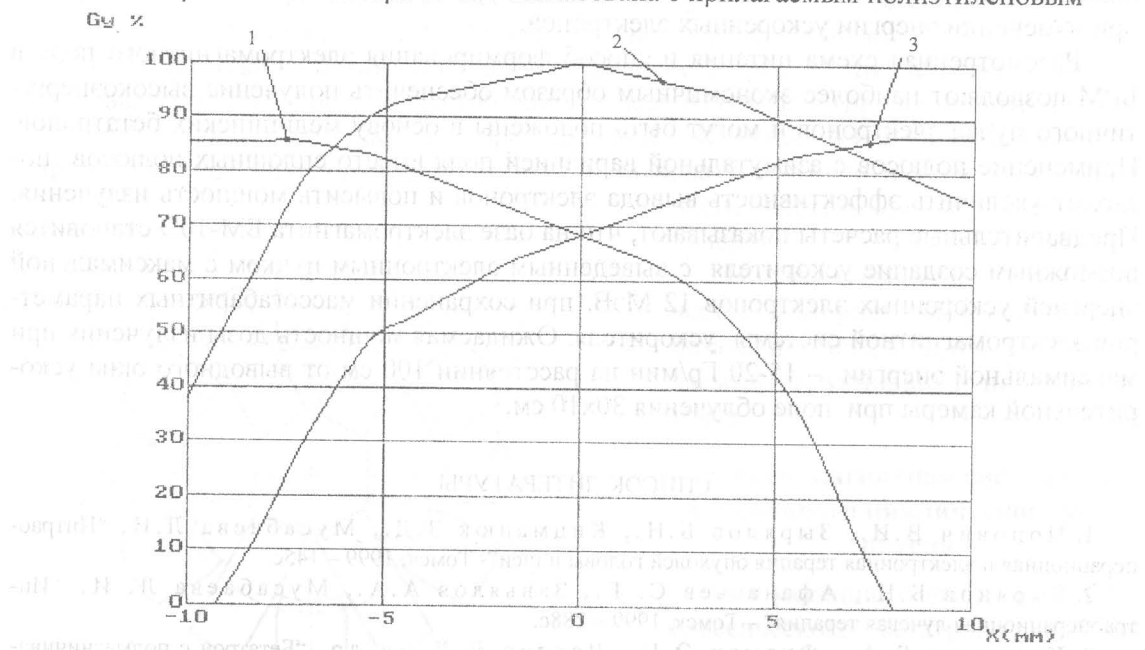


Рис 4. Распределения дозных полей в плоскости равновесной орбиты при различных временах вывода электронного пучка, где: 1 – 800мкс, 2- 850 мкс, 3-900 мкс

фантомом и может быть установлена как на поверхности, так и на глубинах в диапазоне, соответствующем энергии электронов в терапевтическом пучке бетатрона, с достаточной дискретностью. Измерения проводились при различных временах включения тиристора  $I_C$ , т.е. включение секторной обмотки осуществлялось при различных значениях равновесной орбиты. Распределения дозных полей в медианной плоскости выведенных электронов представлены на рис.4. Из рисунка видно, что ось пучка и пространственное распределение электронного излучения являются функциями задержки включения тиристора  $I_C$ .

### Заключение

Таким образом, на основе экспериментально полученных результатов, можно выделить ряд преимуществ новой системы:

1. За счет применения обмотки возбуждения с меньшими радиальными размерами удалось уменьшить поля рассеяния с полюсов и обмоток и тем самым увеличить эффективность вывода электронного пучка и интенсивность излучения.

2. Для расширения равновесной орбиты в конце цикла ускорения не требуется специальной схемы и не нужно в рабочем зазоре размещать витки предварительного расширения равновесной орбиты как в стандартном бетатроне.

3. Медленное расширение равновесной орбиты (приблизительно  $10^2$  м/с) в конце цикла ускорения за счет изменения разницы магнитодвижущих сил намагничивающей и компенсационной обмотки позволяет достаточно точно синхронизировать процессы предварительного симметричного расширения и последующего секторного возмущения равновесной орбиты.

4. Изменение фазы включения тиристора ввода энергии приводит к изменению положения оси пучка, что можно использовать для стабилизации положения оси пучка при изменении энергии ускоренных электронов.

Рассмотренная схема питания и способ формирования электромагнитного поля в БРМ позволяют наиболее экономичным образом обеспечить получение высокоэнергетичного пучка электронов и могут быть положены в основу медицинских бетатронов. Применение полюсов с азимутальной вариацией поля вместо сплошных полюсов позволит увеличить эффективность вывода электронов и повысить мощность излучения. Предварительные расчеты показывают, что на базе электромагнита БМ-10Э становится возможным создание ускорителя с выведенным электронным пучком с максимальной энергией ускоренных электронов 12 МэВ, при сохранении массогабаритных параметров электромагнитной системы ускорителя. Ожидаемая мощность дозы излучения при максимальной энергии – 15-20 Гр/мин на расстоянии 100 см от выходного окна ускорительной камеры при поле облучения 30x10 см.

### СПИСОК ЛИТЕРАТУРЫ

1. Попович В.И., Зырянов Б.Н., Кицманюк З.Д., Мусабаева Л.И. "Интраоперационная и электронная терапия опухолей головы и шеи"- Томск, 1999 – 145с.
2. Зырянов Б.Н., Афанасьев С. Г., Завьялов А.А., Мусабаева Л. И. "Интраоперационная лучевая терапия" – Томск, 1999 – 288с.
3. Касьянов В.А., Фурман Э.Г., Чахлов В.Л., и др. "Бетатрон с подмагничиванием". ПТЭ.-2002. - № 1. С 5-9.